



MAPBIOMAS
[AGUA]



Documento de base teórica sobre algoritmos (ATBD)

Apéndice - Agua

MapbBiomias Agua – Ecuador Colección 2, Versión 1

Coordinador General

Carlos Souza Jr

Coordinador Técnico

Juliano Schirmbeck

Coordinador RAISG

Cícero Augusto

Directora Ejecutiva EcoCiencia

Carmen Josse

Coordinador MapBiomias Ecuador

Wagner Holguín

Coordinador MapBiomias Agua Ecuador

Juan Espinosa

Noviembre 2024

Tabla de contenido

| | | |
|--------|--------------------------------------------------------------------------|----|
| 1 | Introducción | 3 |
| 1.1. | Alcance y contenido del documento | 3 |
| 1.2. | Descripción General..... | 3 |
| 1.3. | Regionalización | 5 |
| 1.4. | Ciencia y aplicaciones clave..... | 6 |
| 2 | Información general y antecedentes | 7 |
| 2.1. | Contexto e información clave | 7 |
| 2.2. | Perspectiva histórica: mapas existentes e iniciativas cartográficas..... | 7 |
| 3 | Metodología | 8 |
| 3.1. | Imágenes Landsat..... | 9 |
| 3.2. | Algoritmo para la Detección de Superficies de Agua | 9 |
| 3.2.1. | Análisis de mezcla espectral..... | 9 |
| 3.2.2. | Clasificador subpíxel de superficie de agua (SWSC) | 9 |
| 3.2.3. | Ajustes fundamentados en el uso de máscaras | 10 |
| 3.2.4. | Obtención de Datos mensuales de agua | 11 |
| 3.2.5 | Obtención de Datos anuales de agua..... | 12 |
| 3.2.6 | Categorización de cuerpos de agua | 12 |
| 4 | Colección de mapas y análisis | 15 |
| 4.1. | Área de agua superficial | 15 |
| 4.2. | Transiciones de superficie de agua | 15 |
| 4.3. | Tendencia de superficie de agua..... | 17 |
| 5 | Consideraciones prácticas | 20 |
| 6 | Conclusiones finales y perspectivas..... | 21 |
| 7 | Referencias..... | 22 |

1 Introducción

1.1. Alcance y contenido del documento

El objetivo principal de MapBiomias Agua Ecuador es mapear la dinámica de agua superficial en todo el territorio continental, de forma mensual y anual desde 1985 al 2023. Adicionalmente, se incluye una sección que mapea los glaciares para todo el territorio continental cubriendo la misma serie temporal.

Un resultado destacado de esta iniciativa es el conjunto de mapas con datos anuales sobre la superficie de agua, los cuales se han integrado como un tema transversal en la Colección 2 de Cobertura y Uso del Suelo de MapBiomias Ecuador.

Sumada a esta integración, MapBiomias Agua ha desarrollado aplicaciones adicionales, incluyendo la publicación del conjunto de datos en el módulo de Agua de la plataforma web de MapBiomias Ecuador. Esta información se encuentra disponible públicamente para mejorar la gestión y uso de los recursos hídricos en todo el país.

La finalidad de este Documento Base Teórico de Algoritmos (ATBD, por sus siglas en inglés) es proporcionar a los usuarios una guía para comprender los pasos metodológicos para producir los datos anuales de la superficie de agua del Ecuador. En el caso de los glaciares los pasos metodológicos están descritos por Turpo *et al.* (2022).

1.2. Descripción General

La iniciativa MapBiomias Agua surge de un estudio previo realizado por Imazon y WWF-Brasil en el bioma amazónico brasileño, ampliado a la cuenca del Alto Paraguay, en el bioma Chaco, publicado hace 5 años (Souza *et al.* 2019). Este estudio mostró la posibilidad de mejorar la capacidad de la Iniciativa MapBiomias para detectar y monitorear la dinámica de agua superficial en todos los biomas brasileños. A partir de este contexto, el grupo de trabajo de MapBiomias Agua expandió el mismo enfoque y metodología a todo el territorio brasileño.

En 2022, gracias a la alianza entre MapBiomias y la Red Amazónica de Información Socioambiental Georreferenciada (RAISG), se decidió adaptar, ampliar y aplicar la metodología de MapBiomias Agua a los territorios de los países amazónicos (Figura 1), con el objetivo de mapear y comprender la dinámica del agua en los diversos biomas de la región. Como resultado, en septiembre de 2023 se lanzó la primera colección de mapas de agua superficial para toda la Panamazonía.



Figura 1. Países amazónicos

La metodología para mapear y monitorear el agua superficial se basa en la clasificación a nivel de subpíxel de las imágenes de satélite Landsat 5, 7 y 8. Posterior a la aplicación de la metodología, los resultados obtenidos permiten el análisis espacial de los cuerpos de agua superficial para comprender los cambios que han ocurrido en los últimos 39 años, por impactos antropogénicos y a los potenciales efectos de la variabilidad y el cambio climático.

Todo el procesamiento de datos se realizó dentro de la plataforma Google Earth Engine para reconstruir una serie temporal mensual de cambios en la dinámica de agua superficial en los países amazónicos entre 1985 y 2023. Además, todos los cuerpos de agua mapeados fueron clasificados en categorías naturales y antrópicas. Los principales resultados relacionados con el mapeo de agua superficial, transiciones y tendencias temporales fueron cargados en un panel interactivo dentro de la plataforma de agua para los usuarios finales.

Con la actualización de esta plataforma y el lanzamiento de la Colección 2, la iniciativa planea capacitar a los usuarios finales en el uso de la plataforma, incluyendo a representantes de la academia, el sector privado y el gobierno. La disponibilidad de información confiable sobre los recursos hídricos constituye una herramienta esencial para los tomadores de decisiones, facilitando la priorización de acciones orientadas a proteger, restaurar y gestionar de manera sostenible el uso del agua y los ecosistemas de agua dulce.

1.3. Regionalización

La regionalización en el Ecuador (Figura 2) surge debido a la heterogeneidad y particularidad que caracteriza al territorio continental, por lo que la metodología de clasificación de cuerpos de agua aplicada por MapBiomás Brasil fue adaptada para regiones específicas de cada país.

En ese sentido, cada país eligió establecer un enfoque propio de regionalización por unidades específicas para lograr una comprensión más profunda de la dinámica de los cuerpos de agua, atendiendo las particularidades de su territorio.

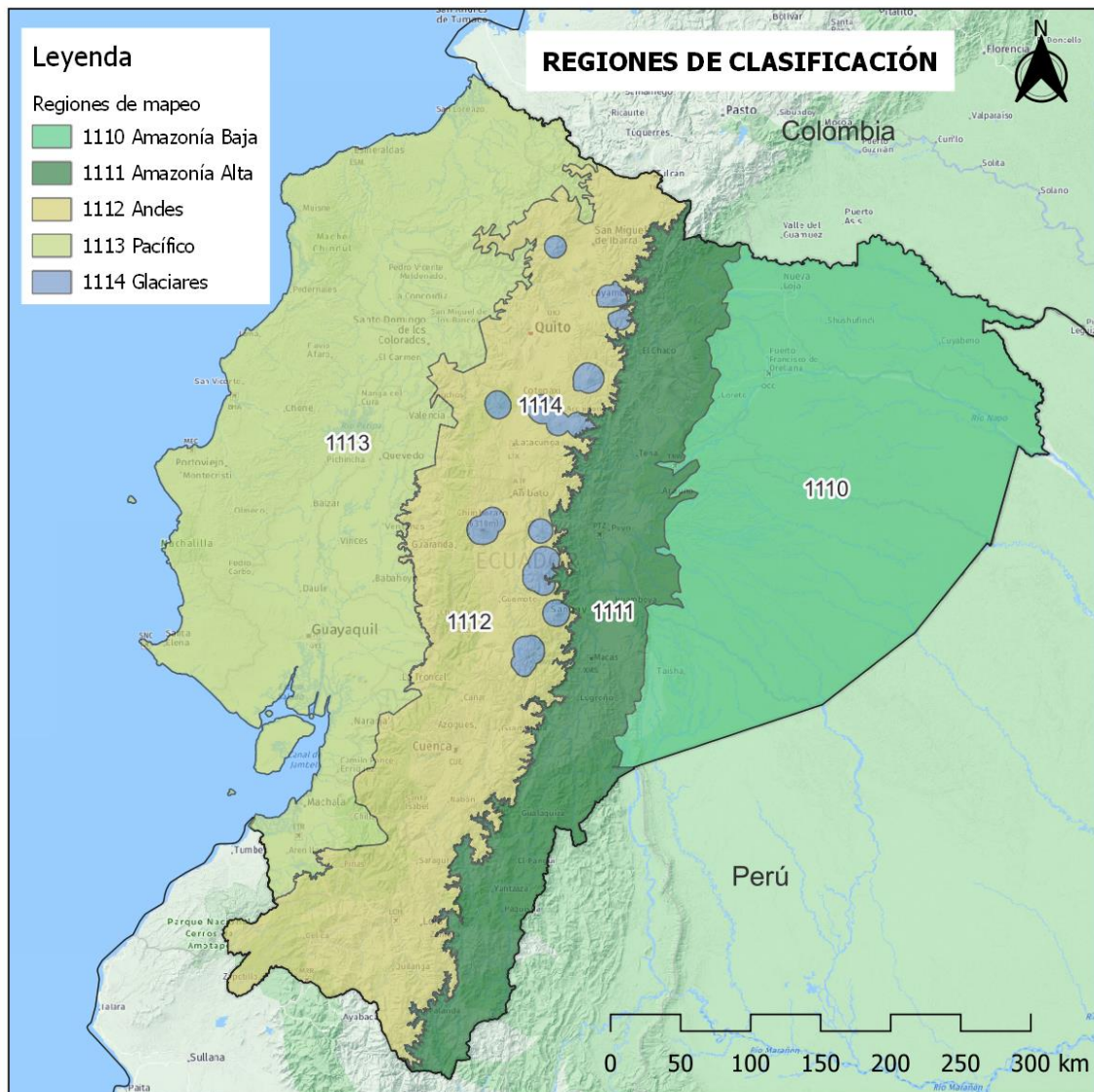


Figura 2. Regionalización del Ecuador

1.4. Ciencia y aplicaciones clave

El conjunto de datos sobre la dinámica de los cuerpos de agua superficiales ayuda a una mejor comprensión de los sistemas acuáticos y su interacción con otros componentes del ambiente, siendo crucial para la toma de decisiones y aporta significativamente a la gestión de los recursos hídricos con enfoque en el desarrollo sostenible.

La información sobre el mapeo de agua superficial puede apoyar en: la planificación territorial integrada, monitoreo de los objetivos de desarrollo sostenible, iniciativas de gestión sostenible de agua, monitoreo de las concesiones de agua/pequeñas represas, apreciación de la calidad de los ecosistemas de agua dulce, investigación y evaluación de cambios en cuerpos de agua y su relación con el cambio climático.

2 Información general y antecedentes

2.1. Contexto e información clave

Las condiciones de muchos ecosistemas de agua dulce se degradaron por las actividades antrópicas en las últimas décadas. Los cambios drásticos en el uso y la cobertura del suelo, la construcción de represas hidroeléctricas, la contaminación y el uso excesivo de los recursos hídricos para la producción de bienes y servicios han alterado la calidad y disponibilidad de agua en todo el mundo. Evidencia reciente muestra que las especies de agua dulce tienen tasas de extinción dos veces más altas que las terrestres (WWF, 2020). Además, las sequías extremas y las inundaciones relacionadas con el cambio climático han aumentado la presión sobre los depósitos de agua y los ecosistemas acuáticos.

Este escenario tiende a empeorar aún más, dado el aumento de la población mundial y el uso de los recursos; a menos que se desarrollen estrategias integradas de gestión del agua será imposible alcanzar los objetivos globales de desarrollo sostenible. En esta perspectiva, evaluar de manera continua e histórica los cambios en la dinámica de la superficie de agua a escala continental es uno de los principales desafíos en la toma de decisiones sobre este preciado recurso (Oliveira y Souza, 2019).

Estos desafíos se aplican a los países amazónicos, donde existe la mayor proporción de agua per cápita del planeta, pero con una distribución y calidad no homogéneas. Esto implica la necesidad de una toma de decisiones específicas considerando las diferentes características regionales y los efectos interconectados y acumulativos del uso de agua. Esto sólo será posible a través de datos e información detallada y consistente sobre la dinámica de la superficie de agua.

La novedosa metodología de mapeo de aguas superficiales adoptada por la iniciativa MapBiomás Agua ha permitido previamente identificar y cuantificar la dinámica de la superficie de agua dulce en los países amazónicos, especialmente en los humedales (Souza *et al.* 2019).

2.2. Perspectiva histórica: mapas existentes e iniciativas cartográficas

El uso de datos satelitales revolucionó la capacidad humana para mapear las aguas superficiales continentales y su dinámica. La combinación del acceso gratuito a los datos de Landsat vinculado con capacidades de procesamiento en la nube permitió el lanzamiento de un conjunto de datos globales de varias décadas sobre aguas superficiales:

Global Surface Water (GSW) (Donchyts *et al.* 2016, Pekel *et al.* 2016). Esta iniciativa brinda información sobre la extensión y la dinámica de agua superficial en toda la superficie de la Tierra, basándose en un análisis de más de 30 años de imágenes Landsat a nivel de píxel, con varias aplicaciones científicas y de gestión. Sin embargo, el uso directo de GSW a nivel nacional sigue siendo un desafío por las limitaciones metodológicas en la detección de agua en llanuras aluviales, humedales y pequeñas masas de agua.

MapBiomás Agua busca superar algunas de estas limitaciones adoptando el mismo enfoque general de combinar datos Landsat con capacidades de computación en la nube, pero agregando algunas innovaciones metodológicas para mejorar la detección y mapeo de aguas superficiales. En particular, la iniciativa adopta un clasificador a nivel de subpíxel de aguas superficiales (SWSC), aplicado inicialmente al bioma de la Amazonía brasileña (Souza *et al.* 2019). En las siguientes secciones se presentan detalles de esta metodología.

3 Metodología

La combinación de la serie histórica de imágenes Landsat junto con las facilidades del procesamiento en la nube proporcionadas por la plataforma Google Earth Engine, permitió a la iniciativa MapBiomás Agua producir el primer conjunto de datos de agua superficial para todos los países amazónicos. La figura 3 muestra los principales pasos metodológicos que abarcan un clasificador de agua superficial a nivel de subpíxel (SWSC), árboles de decisión y procedimientos de post-clasificación para generar un conjunto de datos anuales y mensuales de agua superficial.

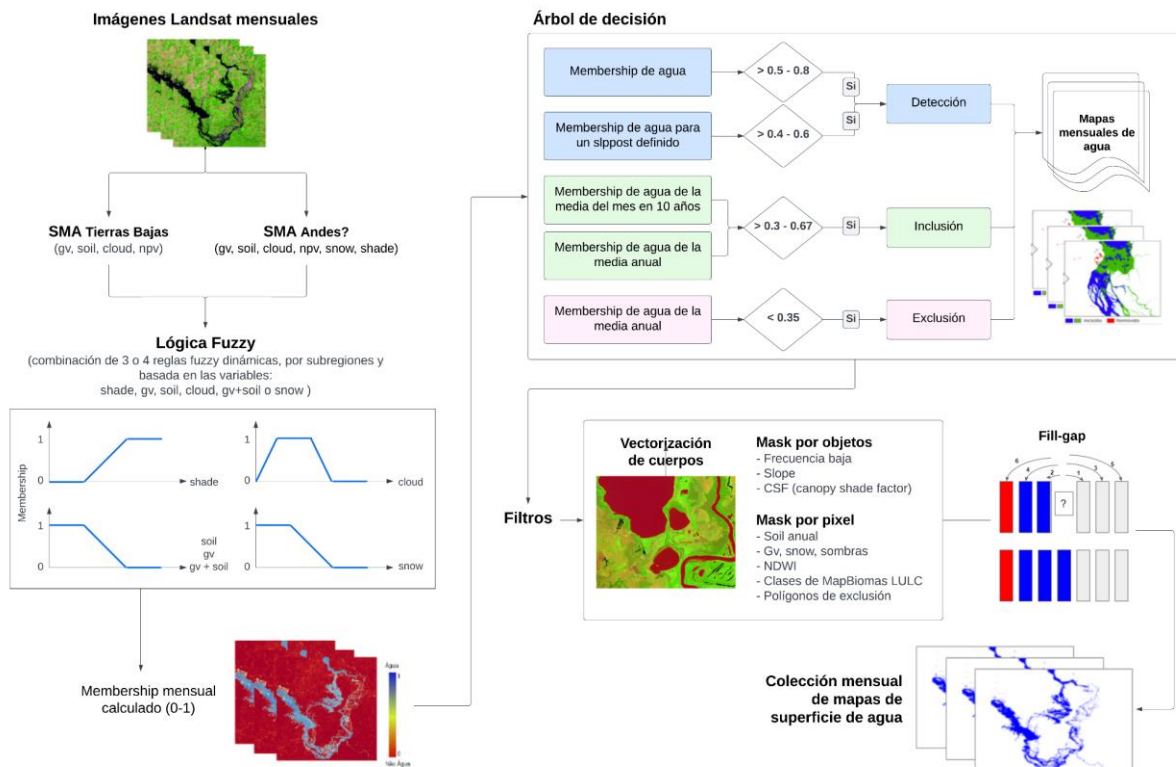


Figura 3. Diagrama del proceso metodológico para producir los datos de superficie de agua, 1985-2023.

3.1. Imágenes Landsat

El proyecto utilizó imágenes del archivo de datos Landsat disponibles en la plataforma Google Earth Engine, incluyendo imágenes de los sensores Landsat Thematic Mapper (TM), Enhanced Thematic Mapper Plus (ETM+) y Operational Land Imager (OLI), a bordo de los satélites Landsat 5, Landsat 7 y Landsat 8, respectivamente. Con una resolución espacial de 30 metros por píxel, se utilizó la Colección 2 Nivel 1 de imágenes Landsat ortorectificadas a la superficie. Se utilizaron todas las escenas Landsat que cubren a los países amazónicos (n = 211 348) entre 1985 y 2023, filtrando a través de sus metadatos las escenas con una cobertura de nubes menor al 70%.

3.2. Algoritmo para la Detección de Superficies de Agua

3.2.1. Análisis de mezcla espectral

El Análisis de Mezcla Espectral (SMA – por sus siglas en inglés) permite estimar la composición fraccional de píxeles puros (*endmembers*) de vegetación verde (GV), vegetación no fotosintética (NPV), suelo (*Soil*), nubes (*Cloud*), sombra (*Shade*) y nieve (*Snow*). La información a nivel de subpíxel obtenida con SMA es útil para caracterizar el agua superficial con mezcla de otros componentes, por ejemplo, suelo y vegetación, superando así la limitación de los clasificadores de píxeles completos, permitiendo el mapeo de humedales, llanuras aluviales, ríos estrechos y pequeños cuerpos de agua.

En la aplicación de este modelo de SMA se utiliza una librería genérica de *endmembers* para las imágenes Landsat que permite calcular el porcentaje de los componentes, basándose en el algoritmo de desmezcla espectral que se encuentra en la plataforma de Google Earth Engine, y se presentan dos casos:

- i) En las regiones de amazonía/tierras bajas se aplica en cada píxel el SMA utilizando cuatro *endmembers* para calcular las fracciones de GV, Soil, NPV y Cloud. Para la fracción de shade se utiliza la sombra fotométrica (reflectancia cero en todas las bandas) y se calcula mediante la sustracción de la suma de GV, Soil, Cloud y NPV a 1.
- ii) En las regiones de andes, transición con amazonía y pacífico, se calculan las fracciones directamente utilizando seis *endmembers* en el SMA (GV, Soil, NPV, Cloud, Snow y Shade).

3.2.2. Clasificador subpíxel de superficie de agua (SWSC)

El algoritmo clasificador subpíxel de agua superficial (SWSC) original utiliza tres reglas jerárquicas de decisión binaria (ej. verdadero, falso) basadas en información fraccional de Shade, GV, Soil y Cloud. En primer lugar, debido a que el agua absorbe gran parte de la radiación electromagnética en las bandas visible, infrarrojo cercano e infrarrojo de onda corta de Landsat, el SWSC utiliza una imagen con fracción de Shade > 65% para clasificar la mayoría de los píxeles de Landsat como agua superficial. En segundo lugar, se utilizan las

fracciones de GV y Soil combinadas (< 10%) para cuantificar la mezcla de agua superficial con vegetación y suelo. Esta agua superficial mezclada se encuentra a lo largo de los bordes de cuerpos de agua, en ríos estrechos, en ecosistemas de llanuras aluviales y humedales. Finalmente, se incluye la fracción de Cloud residual (< 25%) para detectar agua superficial con alta carga de sedimentos. Esta fracción residual de Cloud se debe a la ambigüedad espectral del *endmember* de Cloud y Soil. De hecho, el modelo de fracción de Cloud residual se debe a la respuesta espectral del *endmember* de Soil en píxeles libres de nubes.

Una evaluación empírica de agua superficial mapeada con las reglas jerárquicas de decisión binaria descritas anteriormente reveló que el umbral aún excluye agua superficial. Por lo tanto, se definieron reglas de transición (Figura 4) a lo largo de los umbrales fraccionarios utilizando un conjunto de funciones lineales. Como resultado, la decisión binaria SWSC original se transformó en tres lógicas difusas (reglas fuzzy) independientes, en las que se determina el grado de verdad/certeza (*membership*) de que un píxel Landsat es clasificado como agua. Luego se calcula el grado de verdad promedio para obtener un mapa continuo de *memberships* con valores que oscilan entre 0 y 1. En base a estos *memberships*, se clasifican los píxeles Landsat para producir capas de agua superficial mensuales.

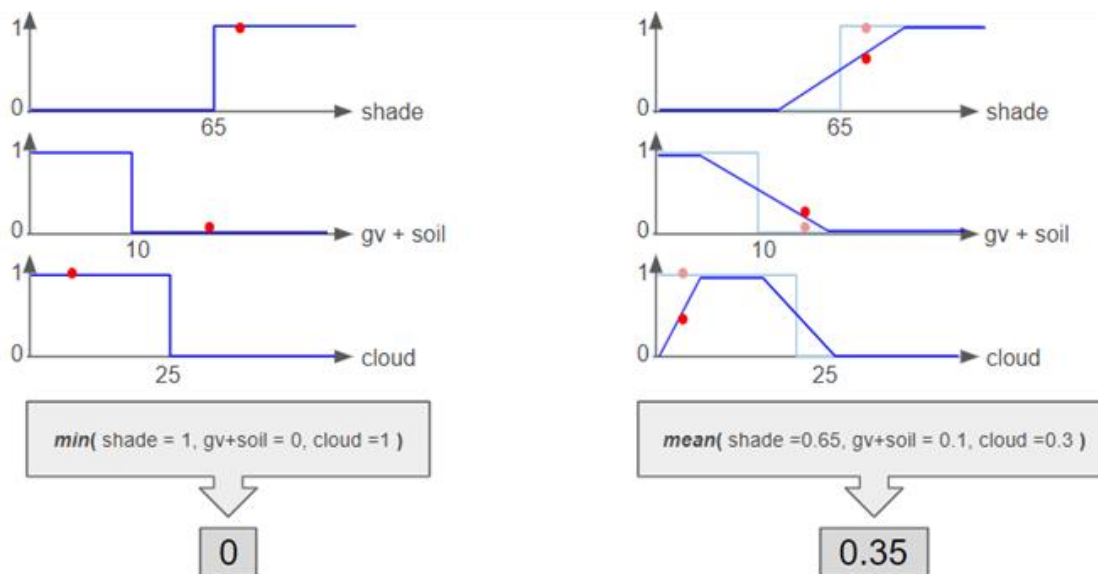


Figura 4. Reglas binarias del clasificador subpíxel de agua superficial. El esquema de la izquierda muestra un ejemplo de agua superficial no detectada para un píxel con valores de fracción indicados por los puntos rojos (el valor de gv + soil está por encima del umbral > 10 para ser clasificado como agua). El ejemplo de la derecha aplica una lógica fuzzy lineal a la variable y el valor medio permite clasificar correctamente el píxel (punto rojo) como agua superficial.

3.2.3. Ajustes fundamentados en el uso de máscaras

- **Pendiente topográfica:** Para producir los mapas mensuales de agua superficial, primero se generaron los mapas de *memberships* mensuales, calculando la mediana de los *memberships* de los píxeles entre las escenas Landsat disponibles para cada mes. Después, se clasificaron los píxeles como agua en base a umbrales definidos para el *membership* > 0.5 - 0.8 (el umbral varía en función de las regiones de clasificación), y en algunas regiones además, se aplicó una máscara con valores de SLPPOST (pendiente estratificada) bajos para reducir el umbral (> 0.4 - 0.6) con el objetivo de

ampliar la detección de ríos estrechos o agua con mucha mezcla de suelo y vegetación. Así, se obtienen las series temporales mensuales de agua desde 1985 a 2023.

- **CSF:** Factor de Sombra de Dosel (CSD, por sus siglas en inglés: *Canopy Shade Factor*) es una estimación de la cobertura vegetal y su densidad, basada en la cantidad de luz solar que es interceptada por las copas de los árboles y otras plantas. Este índice en particular es utilizado para enmascarar algunos sitios particulares que clasificaban como agua dentro de áreas con vegetación, principalmente en Ecuador se hace uso de este índice como una máscara adicional para remover falsos positivos.
- **NDWI:** El Índice de Diferencia Normalizada de Agua (NDWI, por sus siglas en inglés: *Normalized Difference Water Index*) es un índice espectral ampliamente utilizado en el procesamiento de imágenes satelitales, especialmente para el mapeo de cuerpos de agua. Este índice aprovecha las diferencias en la reflectancia de la luz en las bandas del espectro electromagnético, específicamente en las bandas del verde y del infrarrojo cercano (NIR), para resaltar la presencia de agua. Para todos los países, se utilizaron imágenes Landsat con reflectancia de superficie.
- **Máscaras de cobertura:** A partir del producto de cobertura y uso del suelo de MapBiomás Amazonía (colección 6) y las iniciativas nacionales de MapBiomás (colección 2) para los diferentes países, se dispone de un conjunto de clases (como uso urbano, uso agropecuario, etc.) que sirven de insumo para correr un proceso de enmascaramiento y reducir espacialmente potenciales falsos positivos.

3.2.4. Obtención de Datos mensuales de agua

Los mapas mensuales se complementaron con procedimientos para restaurar falsos negativos y remover falsos positivos, basados en métricas temporales (Figura 5). Primero, se calculó la mediana del *membership* de agua para todo el año (es decir, la mediana intra anual), además de la mediana decenal de cada mes. Luego se aplicó un relleno de vacíos para reclasificar como agua aquellos píxeles que eventualmente fueron cubiertos por nubes o dentro de áreas donde no existían escenas Landsat durante un mes determinado, usando una combinación de dos reglas: probabilidad mediana dentro del año $> 0.3 - 0.67$ y la mediana decenal del mes correspondiente $> 0.3 - 0.67$, donde el umbral varía en función de las regiones de clasificación. Por último, la presencia de sombras de nubes u otros objetos oscuros en la escena Landsat también puede producir falsos positivos en la clasificación de agua, por lo que se aplicó un filtro de remoción para reclasificar como no agua aquellos píxeles con un *membership* mensual mediano $< 0,35$.

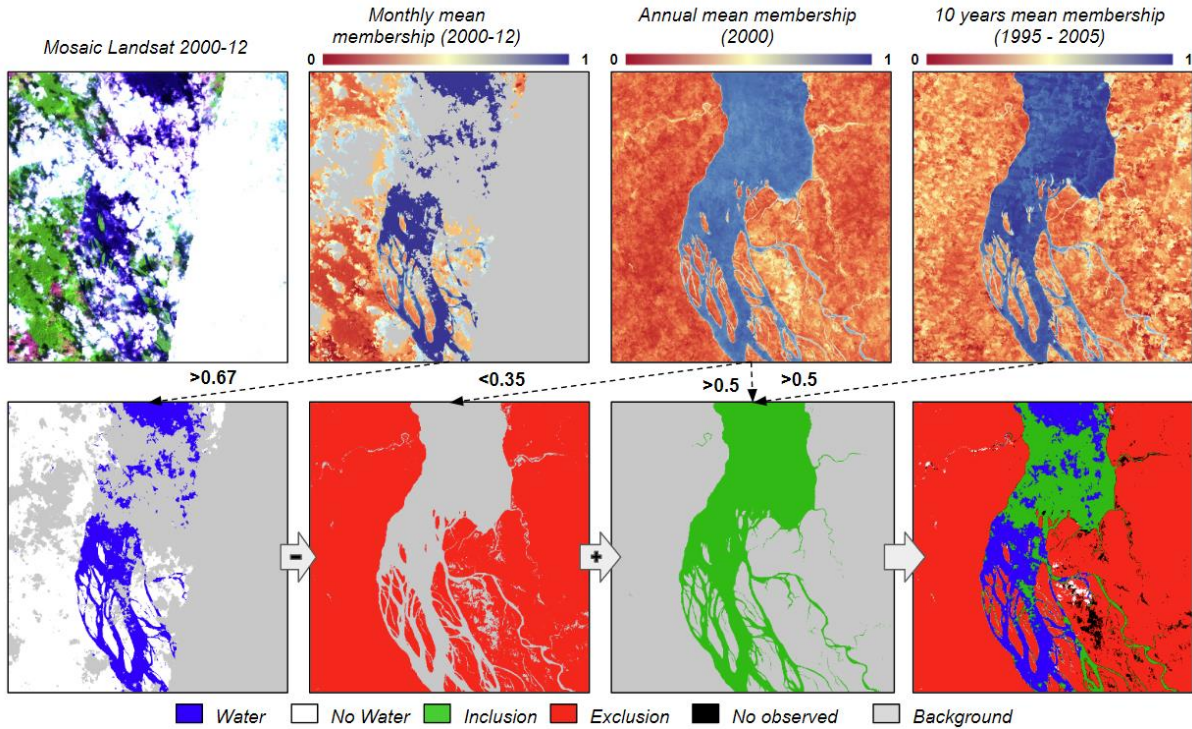


Figura 5. Mosaico Landsat mensual; b: *Membership* mediana mensual de SWSC; c: *Membership* mediana mensual anual de SWSC; d: *Membership* mediana mensual decenal de SWSC; e: Clasificación mensual de agua superficial; f: Agua superficial total por decenio; g: Área que probablemente sea agua superficial basado en los umbrales de c y d. h: Mapa final de agua superficial del mes, con inclusión y remoción correspondiente.

3.2.5 Obtención de Datos anuales de agua

Los mapas anuales de agua superficial incluyen una identificación entre agua permanente y estacional. Esta clasificación se basa en umbrales correspondientes al número de meses en que un píxel se clasifica como agua. Para el primer caso, se considera una frecuencia ≥ 6 meses, y para el segundo, una frecuencia entre 1 a 5 meses. La definición del umbral de agua permanente se basa en la existencia de una temporada seca y otra húmeda, en gran parte de las regiones, de tal manera que se abarcan todos los cuerpos de agua permanentes que son naturalmente más dinámicos.

3.2.6 Categorización de cuerpos de agua

El mapeo de la superficie de agua se organizó en un esquema de clasificación de cuerpos de agua en seis categorías: 1) Natural, 2) Antrópico, 3) Hidroeléctricas, 4) Agua de minería, 5) Acuicultura y 6) Falsos positivos, esta última como un subproducto de la clasificación para eliminar algunos casos de falsos positivos no deseados que persistían en las colecciones mensuales y anuales de superficie de agua.

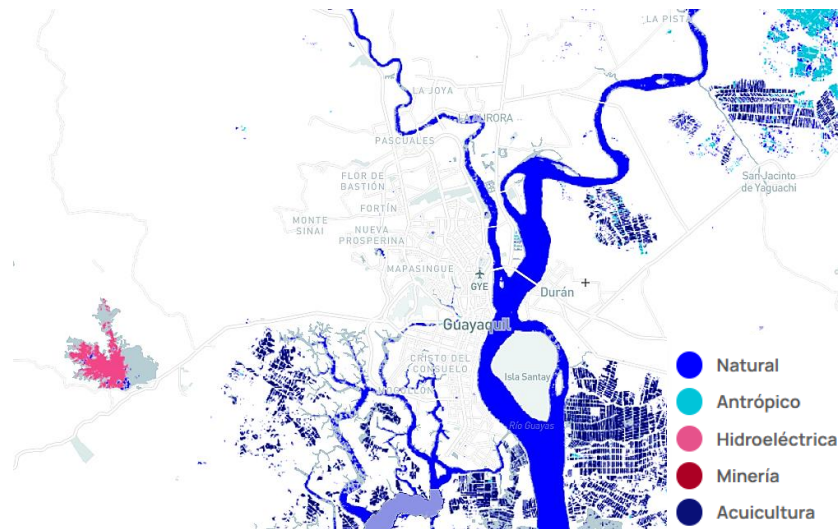


Figura 6. Ejemplo de categorías de cuerpo de agua en los Valles Interandinos

La clasificación de los cuerpos de agua incluyó los siguientes pasos:

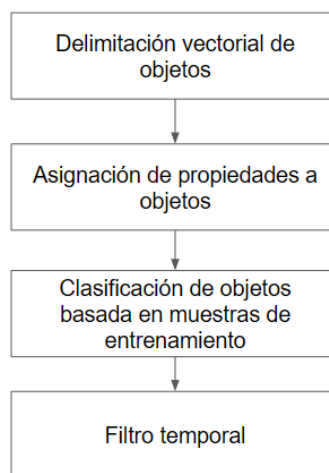


Figura 7. Secuencia de pasos para la clasificación

1. Delimitación vectorial de objetos.

La delimitación vectorial de objetos se denominó vectorización anual, ya que corresponde al proceso de convertir los mapas de frecuencia mensual de la superficie del agua (datos raster) para cada año en polígonos regulares (datos vectoriales) dentro de la delimitación espacial de los cuerpos de agua.

Este procedimiento se realizó con una herramienta de segmentación, en la que un cuerpo de agua particular pudo haberse convertido en uno o más polígonos. La función SNIC disponible en Google Earth Engine se utilizó para generar segmentos pequeños y relativamente regulares. La figura 8 muestra algunos ejemplos de la segmentación basada en datos de frecuencia mensual para un año determinado.

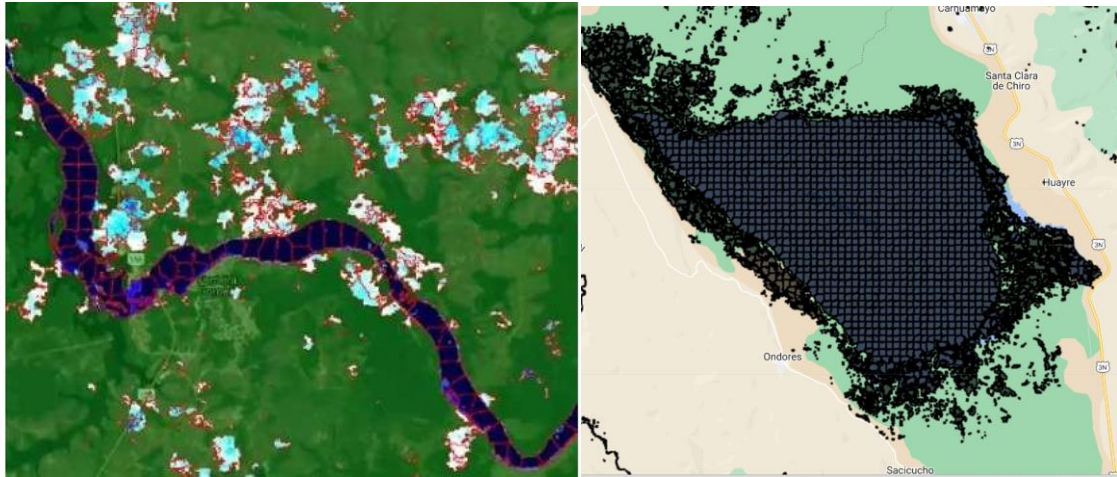


Figura 8. Ejemplos del proceso de segmentación que convierte datos raster (frecuencia mensual dentro de cada año) en una malla de vectores regulares.

2. Asignación de propiedades a objetos.

Después de generar los objetos para cada año, se asignó a cada uno de estos objetos un *dataset* de características con nuevas propiedades para su posterior uso en la clasificación. Estas propiedades incluyen información relacionada con la morfología del objeto, la geomorfología e información cualitativa de otros estudios sobre clasificación de cuerpos de agua y mapeo de cobertura y uso de la tierra. Las siguientes variables se asociaron a cada objeto: área, perímetro, relación área/perímetro, compacidad, redondez, grado de elongación, relación *Laenge-Breite*, convexidad, extensión máxima, número de vecinos, número de vecinos dentro de un buffer de 50 metros, clasificación ANA - antrópica, clasificación ANA - hidroeléctrica, clases de cobertura y uso del suelo MapBiomias (urbano, minería, bosque, clase no forestal, pasto), valor máximo SRTM y media de la frecuencia total.

3. Clasificación de objetos basada en muestras de entrenamiento.

La clasificación de los cuerpos de agua se realizó utilizando el algoritmo *Random Forest*. Las muestras de entrenamiento se recolectaron en los diferentes biomas para cada una de las cinco clases. Las muestras se recolectaron utilizando un conjunto de cuadrículas previamente dibujadas de cada bioma, cubriendo diferentes años de la serie temporal.

4. Filtro temporal.

Después de la clasificación, los resultados se sometieron a una rutina de post-clasificación aplicando un filtro temporal. La lógica del filtro temporal fue eliminar las transiciones improbables entre clases del mismo segmento a lo largo de la serie temporal.

Por último, todos los polígonos clasificados como falsos positivos dentro de cada año se convirtieron a formato raster y se utilizaron para filtrar el conjunto de datos de superficie de agua anual y mensual, eliminando los falsos positivos restantes.

4 Colección de mapas y análisis

Los principales resultados de la colección 2 están disponibles en la plataforma web pública: <https://plataforma.ecuador.mapbiomas.org/agua> donde se incluyen tres coberturas de datos: superficie de agua, transiciones y tendencias.

4.1. Área de agua superficial

La capa corresponde a los datos de la cobertura anual de agua superficial. Los datos presentan superficie de agua mapeada considerando los diferentes rangos temporales dentro del intervalo de 1985 al 2023, incluyendo su respectiva frecuencia relativa. La totalidad de la superficie mapeada corresponde a los países de Colombia, Brasil, Bolivia, Ecuador, Guyane française, Guyana, Perú, Suriname y Venezuela. Los datos disponibles están enmarcados en diferentes unidades territoriales como bioma, cuenca hidrográfica, estados (nivel político-administrativo 1), municipios (nivel político-administrativo 2), áreas protegidas, territorios indígenas. El usuario puede seleccionar diferentes territorios y rangos temporales, haciendo que el mapa, gráficos y estadísticas se actualicen (Figura 9).

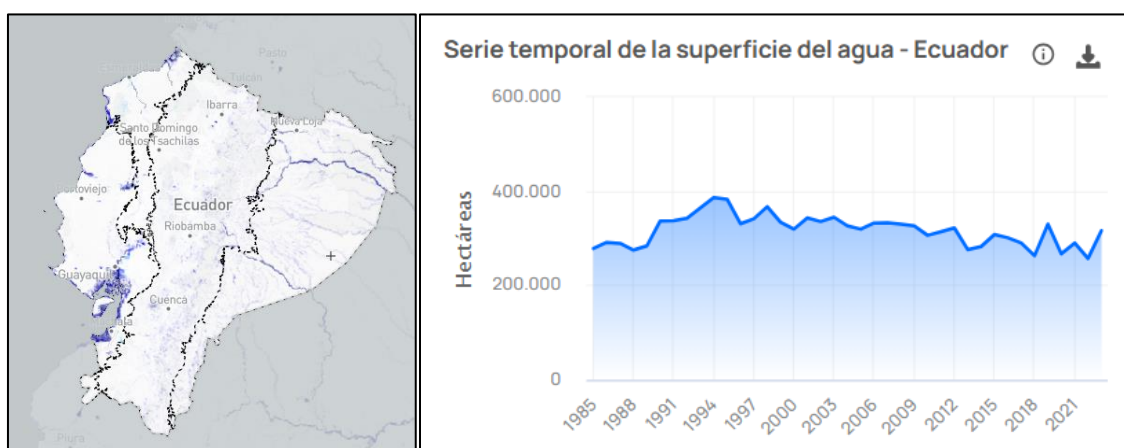


Figura 9. Ejemplo de visualización de los datos de la capa de superficie de agua (mapa y gráfico) en la plataforma de MapBiomas Agua.

4.2. Transiciones de superficie de agua

Esta capa representa la superficie de agua que ha disminuido, ha incrementado, se ha mantenido constante o se presenta de manera esporádica a lo largo de la serie temporal. Fue posible identificar estas áreas utilizando el número total de píxeles clasificados como agua en toda la serie anual (ej., 39 años). Se elaboró una composición de color en RGB para facilitar la visualización e identificación de estas categorías (Figura 10). Primero, para caracterizar la persistencia se asignó el color azul al total de años clasificados como superficie de agua. Segundo, se seleccionó el número de años desde el principio de la serie temporal hasta la aparición de la primera clasificación de agua y se le asignó el color verde para caracterizar el incremento. Finalmente, se seleccionó el número de años desde la última observación de superficie de agua hasta el final de la serie temporal, para indicar la disminución de la

superficie de agua en color rojo. De este modo, las superficies de agua permanentes aparecerán predominantemente azules, las superficies de agua temporales aparecerán negras si éstas ocurrieron de manera esporádica, la pérdida de superficie de agua en color rojo y superficies nuevas en color verde.

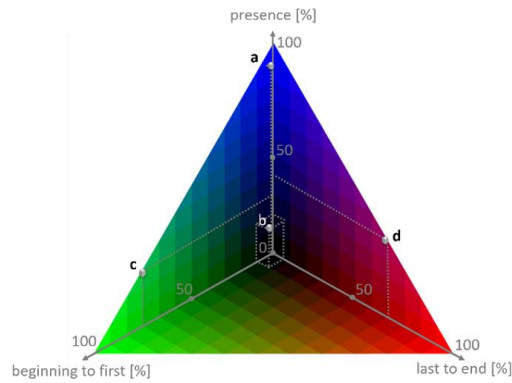


Figura 10. Dinámica de superficie de agua RGB. El color azul indica persistencia, ya que el total de años fueron clasificados como superficie de agua; verde, incrementó (los años desde el principio de la serie temporal hasta la primera clasificación); y rojo disminución. Los colores negros y oscuros indican superficies de agua esporádicas o no permanentes.

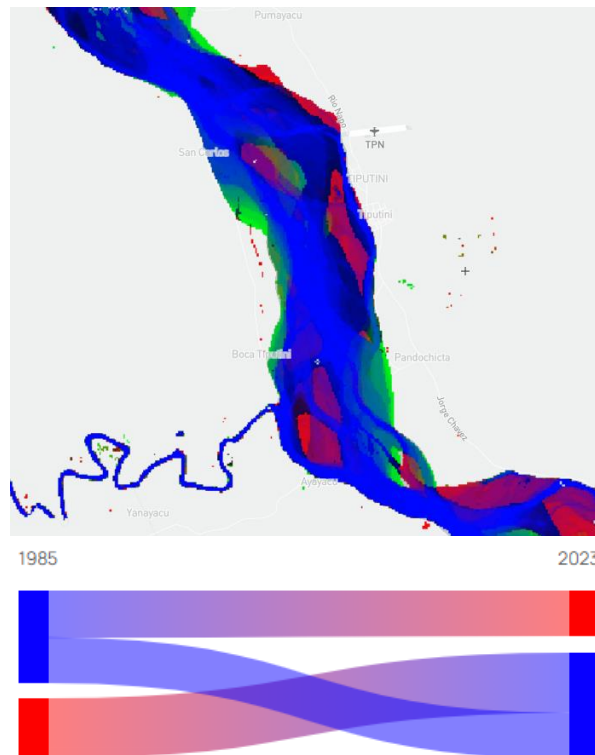


Figura 11. Ejemplo de transición de superficie de agua en Tiputini, Amazonía ecuatoriana. Se ilustra una transición específica en la región, utilizando la composición de color previamente descrita.

4.3. Tendencia de superficie de agua

El análisis de la tendencia de superficie de agua fue realizado utilizando la base de datos de agua mensual.

4.3.1 Ajuste de un modelo armónico

Para describir y probar cambios en los patrones de variación estacional, relacionados con cambios de fase, amplitud y tasa de variación, buscando patrones estacionales y posibles tendencias en referencia a los datos mensuales del mapeo de la superficie de agua para la serie temporal 1985-2023, se utilizó el modelo armónico descrito por Shumway y Stoffer (2006) (Figura 11).

Siendo x_1, x_2, \dots, x_n un conjunto de n datos donde x_t representa el valor del área variable de la superficie de agua en la serie de tiempo, para $t \in [1, n] \in \mathbb{N}$, en el dato $n = 468$ (meses). Se ha calculado el valor armónico para cada elemento de la serie siguiendo la siguiente fórmula:

$$x_t = \beta_0 + \beta_1 * t + \beta_2 * \cos(2\pi * t) + \beta_3 * \sin(2\pi * t)$$

Los coeficientes estimados $\beta_0, \beta_1, \beta_2, \beta_3$ fueron calculados usando el método de mínimos cuadrados ordinarios. (Shumway y Stoffer, 2006).

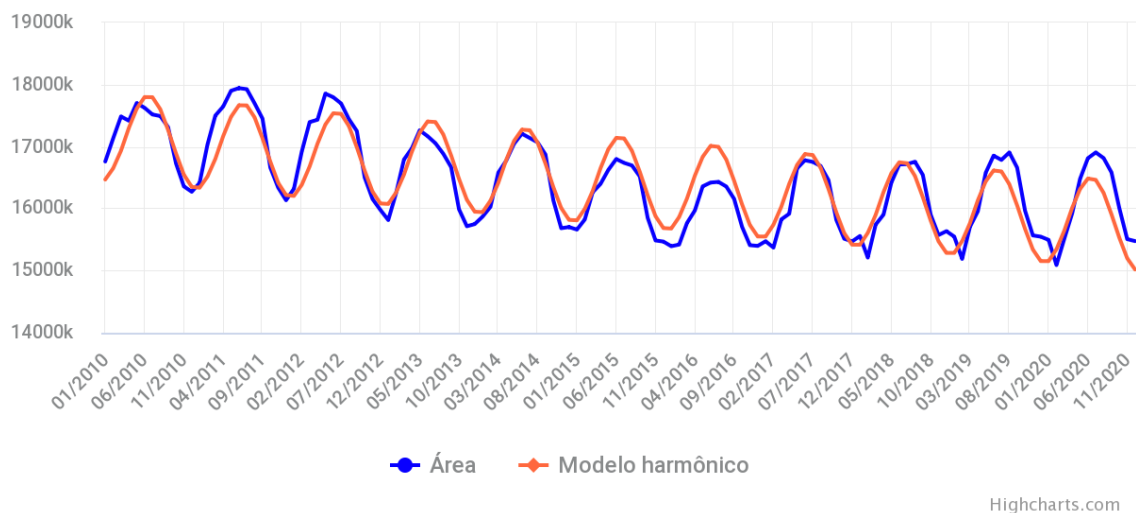


Figura 12. Ejemplo de ajuste de serie armónica a los resultados de superficie de agua mapeada mensualmente. La línea azul corresponde a la superficie de agua mapeada, la línea roja indica el ajuste del modelo armónico.

4.3.2 Diferencias entre el modelo armónico y los datos observados

Para detectar el comportamiento de aumento o disminución a lo largo de la serie de tiempo, se ha calculado la diferencia entre el modelo armónico y la superficie de agua mapeada. Este análisis pretende señalar con mayor claridad qué periodos mensuales presentaron salidas más intensas según lo esperado por el modelo.

4.3.3 Tendencias temporales

Se buscaron tendencias de aumento, disminución o permanencia en la superficie de agua mapeada a lo largo de la serie temporal de 1985-2023. El Ensayo se realizó utilizando la prueba estacional de Mann Kendall (MK test), que se usa para analizar los datos recopilados

a lo largo del tiempo en busca de tendencias crecientes o decrecientes con comportamiento monótono en los valores del eje Y (Figura 12). No es paramétrico, por lo que no es necesario que los datos cumplan con los supuestos de normalidad, que analiza los datos en busca de tendencias monótonas en los datos estacionales (Hirsch *et al.* 1982, Hirsch *et al.* 1984, Gilbert 1987, Helsel y Hirsch 1995, Morell y Fried 2009).

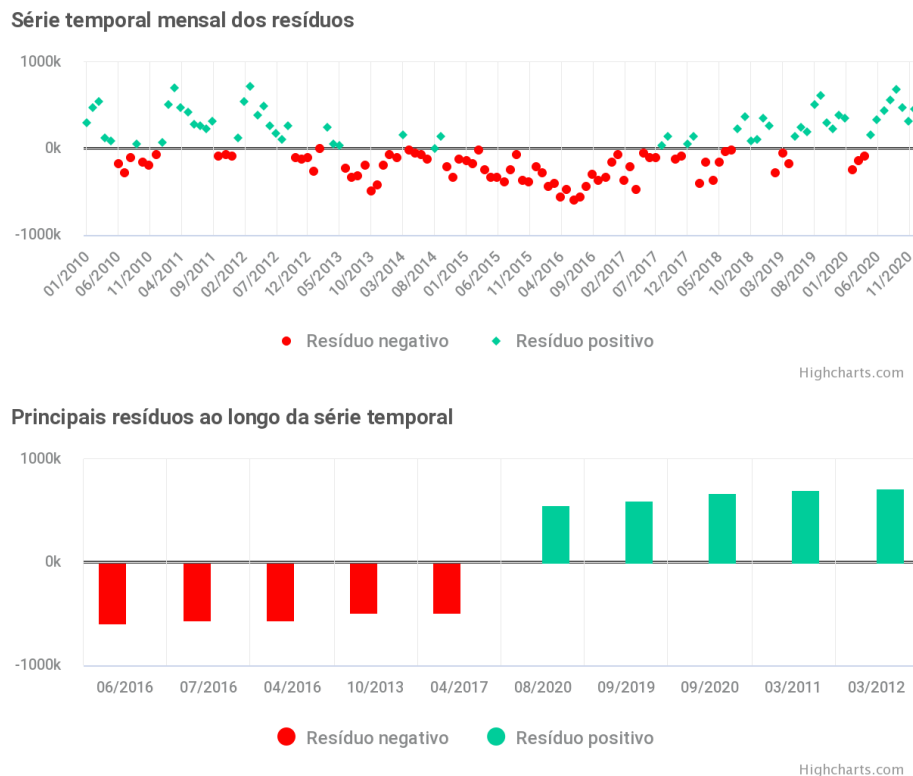


Figura 13. Ejemplo de las diferencias entre el modelo ajustado y los datos observados. Los puntos y barras verdes indican valores de aumento, mientras que los puntos y barras rojas indican valores de disminución en relación a lo esperado por el modelo armónico.

Para realizar la prueba sobre la serie temporal, los valores se consideran una serie temporal ordenada. Cada valor de la serie se compara con el resto de los elementos posteriores de la serie. En la estadística de Kendall se considera como 0, cuando $S = 0$. Si el valor de S para todo el conjunto de elementos es mayor que 0, significa que la tendencia de los datos de la serie está disminuyendo. De lo contrario, significa que la serie está aumentando.

Se consideraron los siguientes pasos para calcular la estadística de Mann-Kendall:

Siendo x_1, x_2, \dots, x_n un conjunto de n datos donde x_j representa el valor de la variable tiempo j para todo $j < [1, n] \in \mathbb{X}$, entonces se calcula:

$$S = \sum_{k=1}^{n-1} \sum_{j=k+1}^n \text{sign}(x_j - x_k)$$

la función es:

$$\begin{aligned} \text{sign}(x_j - x_k) &= 1 && \text{se } x_j - x_k > 0 \\ \text{sign}(x_j - x_k) &= 0 && \text{se } x_j - x_k = 0 \\ \text{sign}(x_j - x_k) &= -1 && \text{se } x_j - x_k < 0 \end{aligned}$$

Cada valor añadido a S significa un aumento o una disminución del valor respecto del siguiente de la serie.

En las series temporales de datos de área para recolectar mapas de cuerpos de agua, fue necesario considerar el cálculo de Kendall para una serie con comportamiento estacional. La serie de superficies de cuerpos de agua corresponde a una serie temporal de 12 meses a lo largo de 39 años. Dada esta estructura para el cálculo de la estadística S, los datos se dividieron en 12 subconjuntos, donde el primer subconjunto corresponde a todos los valores correspondientes al mes de enero de la serie, el segundo a todos los valores correspondientes a febrero de la serie, y así sucesivamente, hasta diciembre. Entonces el valor de S será la suma de todos los S_j donde $J = [1.12]$ (Helsel y Hirsch 1995).

$$S = \sum_{j=1}^{12} S_j$$

El valor de Kendall para cada mes se calcula como se describe anteriormente.

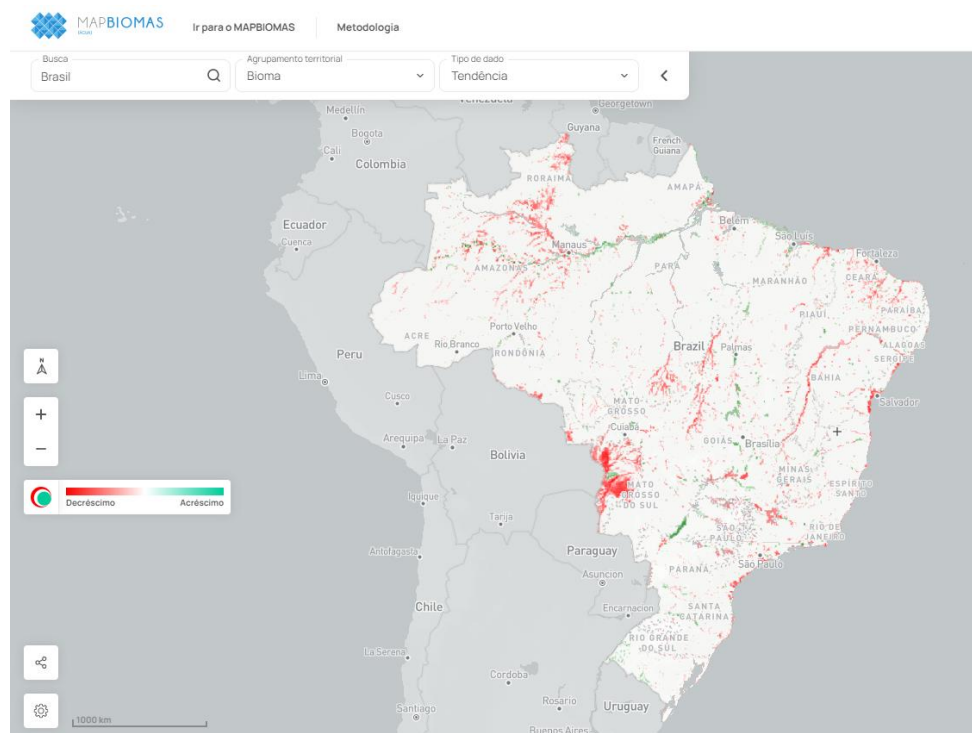


Figura 14. Ejemplo de resultados de cálculo de tendencias para Brasil utilizando la prueba estacional de Mann Kendall. Los datos en rojo indican una disminución, los datos en verde un aumento y los datos en blanco, estabilidad. Sólo se presentan datos con valores significativos.

5 Consideraciones prácticas

La segunda versión de este producto representa un avance significativo hacia la mejora continua y responde a observaciones y sugerencias realizadas durante el uso y análisis de la primera versión. Este nuevo producto se concibe como una herramienta dinámica, que no solo está diseñada para proporcionar datos relevantes, sino también para evolucionar en respuesta a las necesidades de los usuarios y las mejoras tecnológicas disponibles.

Todos los datos generados están disponibles públicamente, fomentando la transparencia y el acceso abierto. Este enfoque facilita que los usuarios puedan revisar el contenido, identificar aciertos y proponer ajustes necesarios. Las contribuciones y retroalimentaciones de los usuarios son fundamentales para garantizar que las próximas versiones sigan un proceso iterativo de perfeccionamiento y que el producto se mantenga actualizado y relevante.

Es importante que los usuarios consideren que la aplicación de los datos cuantitativos presentados debe ir acompañada de una revisión rigurosa de los niveles de precisión y las métricas de incertidumbre asociadas. Esto permitirá una interpretación más robusta y una evaluación adecuada de su aplicabilidad en diferentes contextos. Los datos deben confrontarse con otras fuentes o estudios complementarios para confirmar su aceptación o señalar limitaciones potenciales.

Este enfoque de mejora continua refuerza el compromiso de los desarrolladores con la calidad y utilidad del producto, promoviendo la colaboración entre la comunidad científica y otros usuarios para maximizar el impacto positivo del conjunto de datos.

6 Conclusiones finales y perspectivas

La Colección 2 de MapBiomias Agua se consolida como un producto fundamental de cartografía para la superficie de agua en los países amazónicos. Su aporte es significativo para comprender la dinámica espacial y temporal de los ecosistemas de agua dulce, proporcionando datos detallados que permiten analizar patrones de cambio, ciclos de aumento o disminución, y estimar ganancias o pérdidas de superficie de agua. Este producto también ha demostrado ser una herramienta clave para asociar estas transformaciones con actividades humanas, generando conocimiento valioso sobre las interacciones entre los sistemas naturales y las presiones antropogénicas.

El logro de este resultado fortalece los objetivos planteados por la iniciativa de MapBiomias Agua y RAISG, destacándose como un esfuerzo colaborativo que contribuye tanto al entendimiento científico como al desarrollo de estrategias de manejo sostenible. La disponibilidad pública de los datos fomenta su uso por parte de investigadores, tomadores de decisiones y comunidades locales, quienes pueden utilizarlos para planificar acciones de conservación, restauración y uso racional del recurso hídrico.

7 Referencias

- Barkhordarian, A., Saatchi, S.S, Behrangi, A., Loikith, PC. and Mechoso, C.R. 2019. A Recent Systematic Increase in Vapor Pressure Deficit over Tropical South America. *Sci Rep* 9, 15331.
- Donchyts, G., Baart, F., Winsemius, H., Gorelick, N., Kwadijk, J. and van de Giesen, N. 2016. Earth's surface water change over the past 30 years. *Nat. Clim. Chang.*, 6, 810–813.
- Gilbert, R.O. 1987. *Statistical Methods for Environmental Pollution Monitoring*. Wiley, NY.
- Helsel, D.R. and R.M. Hirsch. 1995. *Statistical Methods in Water Resources*. Elsevier, NY, 338-340.
- Hirsch, R.M. and J.R. Slack. 1984. A nonparametric trend test for seasonal data with serial dependence. *Water Resources Research* 20(6):727-732.
- Hirsch, R.M., J.R. Slack and R.A. Smith. 1982. Techniques of Trend Analysis for Monthly Water Quality Data. *Water Resources Research* 18(1):107-121.
- Morell and Fried 2009. On Nonparametric Tests for Trend Detection in Seasonal Time Series
- Oliveira, B.C., Souza, C.M. 2019. A novel approach to monitor water in Brazil with satellite images - a concept note. WWF Report 2019.
- Pekel, J.F., Cottam, A., Gorelick, N. and Belward, A.S. High-resolution mapping of global surface water and its long-term changes. *Nature* 2016, 540, 418–422.
- Souza, C.M., Kirchhoff, F.T., Oliveira, B.C., Ribeiro, J.G. and Sales, M.H. 2019. Long-Term Annual Surface Water Change in the Brazilian Amazon Biome: Potential Links with Deforestation, Infrastructure Development and Climate Change. *Water*, 11, 566.
- WWF. 2020. *Living Planet Report 2020: Bending the curve of biodiversity loss*. Almond, R.E.A., Grooten, M., & Petersen, T. (Eds). World Wide Fund for Nature, Gland, Switzerland.